

5. Властивості надпровідників у діапазоні НВЧ.

5.1. Провідність надпровідників на змінному струмі

Поведінка надпровідників на високих частотах може бути якісно проаналізована за допомогою дворідинної моделі, згідно з якою у надпровідниках існують нормальні та надпровідникові електрони, кількість яких у одиниці об'єму відповідно n_h та n_c . На постійному струмі нормальні електрони не беруть участь у провідності, оскільки падіння напруги на надпровіднику дорівнює нулю. На високих частотах через скінченну масу надпровідних електронів на надпровіднику виникає ненульова різниця потенціалів, яка прискорює як надпровідну, так і нормальну електронні компоненти. Рух нормальних електронів призводить до втрати енергії у надпровіднику на високих частотах. Через малу масу електронів ці втрати стають помітними на частотах $\sim 10^8$ Гц та вище. Еквівалентна схема надпровідника на НВЧ, що відповідає викладеним вище міркуванням, наведена на рис.5.1.

За інерцією надпровідних та нормальніх електронів відповідають індуктивності L_c та L_h

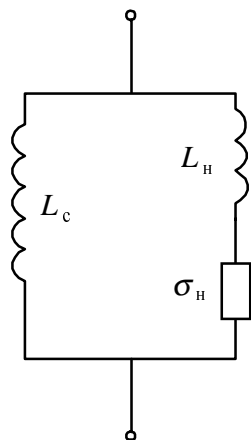


Рис. 5.1. Еквівалентна схема надпровідника у дворідинній моделі.

; до втрат приводить скінченна провідність нормальні компоненти σ_h .

Обчислимо провідність надпровідника на НВЧ, користуючись дворідинною моделлю та вважаючи, що $\hbar\omega \ll \Delta$. Використовуючи другий закон Ньютона, для надпровідних електронів можна записати:

$$n_c m_e \frac{d^2 x}{dt^2} = n_c e E, \quad (5.1)$$

де E - напруженість електричного поля у надпровіднику, $E=E_0 e^{j\omega t}$. Враховуючи, що густина надпровідного струму $J_c=n_c e dx/dt$, маємо

$$m_e dJ_c/dt = n_c e^2 E \quad (5.2)$$

Аналогічне співвідношення для нормального струму J_h повинно мати член, що враховує скінченність часу релаксації імпульсу нормальних електронів τ_e .

$$m_e dJ_h/dt + m_e J_h/\tau_e = n_h e^2 E \quad (5.3)$$

Розв'язавши систему (5.2), (5.3), отримаємо, вважаючи для простоти $\omega\tau_e \ll 1$ і вводячи питому провідність $\sigma=1/\rho$:

$$J=\sigma E; \quad J=J_0 e^{j\omega t} = J_c + J_h; \quad J_0=\sigma E_0; \quad \sigma=\sigma_1 - i\sigma_2 \quad (5.4)$$

$$\sigma_1=n_h e^2 \tau_e / m_e; \quad \sigma_2=e^2 \{n_c + n_h \omega^2 \tau_e^2\} / m_e \omega \quad (5.5)$$

З (5.5) можуть бути отримані питомі параметри еквівалентної схеми, зображені на рис. 5.1:

$$\sigma_h=\sigma_1; \quad L_c=m_e/(e^2 n_c)=\frac{4\pi}{c^2} \lambda_L^2 = \mu_0 \lambda_L^2 (\text{CI}); \quad L_h=m_e/e^2 n_h \omega^2 \tau_e^2;$$

$$\lambda_L^2 = (m_e c^2 / 4\pi n_c e^2) = \frac{m_e}{e^2 n_c \mu_0} (\text{CI}).$$

Наведені вирази вказують на те, що лише на низьких частотах провідність надпровідника зумовлена надпровідними електронами. На дуже високих частотах $\sigma_2 \rightarrow 0$, тобто ці електрони зовсім не приймають участі у провідності. Частота, при якій $\omega L_c = \sigma_n^{-1}$ називається граничною частотою $\omega_{ep} = n_c e^2 / \sigma_n m_e$. Порядок величини граничної частоти становить декілька сотень гігагерц. Наприклад, для ніобію $\omega_{ep} / 2\pi \approx 700$ ГГц.

5.2. Поверхневий імпеданс

Через те, що високочастотні струми протікають у металах не по всьому об'єму, а лише у приповерхневому скін-шарі товщиною δ , на НВЧ зручніше користуватися не питомою провідністю σ , а пов'язаною з нею величиною поверхневого імпедансу $Z = Z_R + jZ_I = R_S + jX_S$.

$$Z = \frac{4\pi}{c} \frac{E_t}{H_t} = \frac{4\pi}{c} \sqrt{\frac{\mu}{\epsilon}}, \quad (5.6)$$

де E_t та H_t - тангенціальні компоненти електричного та магнітного полів на поверхні провідника; $\sqrt{\mu/\epsilon}$ - хвильовий опір середовища; μ , ϵ - відповідно магнітна та діелектрична проникності цього середовища. З рівнянь Максвела випливає, що при існуванні струмів провідності $\epsilon \rightarrow \epsilon$ - $i4\pi\sigma/\omega$, де друга частина співвідношення для хороших провідників завжди значно більше першої. На основі цього висновку можна записати

$$Z = (1+i) \frac{2\pi}{c} \sqrt{\frac{\mu\omega}{2\pi\sigma}} = R_S + jX_S = Z_R + jZ_I. \quad (5.7)$$

Дійсна (поверхневий опір) та уявна частини імпедансу надпровідника у відповідності з (5.4), (5.5), (5.7) дорівнюють

$$R_s^2 = \frac{2\pi}{c^2} \frac{\omega^2 \mu m_e}{e^2} \cdot \frac{\sqrt{1 + (n_h \omega \tau / n_c)^2} - 1}{n_c [1 + (n_h \omega \tau / n_c)^2]}, \quad (5.8)$$

$$X_s^2 = \frac{2\pi}{c^2} \frac{\omega^2 \mu m_e}{e^2} \cdot \frac{\sqrt{1 + (n_h \omega \tau / n_c)^2} + 1}{n_c [1 + (n_h \omega \tau / n_c)^2]}. \quad (5.9)$$

Глибина проникнення електромагнітного поля у металах – глибина скін-шару $\delta = \left[\text{Im} \left(\frac{\omega \sqrt{\epsilon \mu}}{c} \right) \right]^{-1}$ має вигляд

$$\delta = \frac{c}{2\pi} \sqrt{\frac{2\pi}{\mu \omega (\sigma_2 + \sqrt{\sigma_1^2 + \sigma_2^2})}}. \quad (5.10)$$

Для нормального металу ($\sigma_1 \approx \sigma_n$, $\sigma_2 \approx 0$) існує відомий вираз

$$\delta = \delta_h = \frac{c}{2\pi} \left(\frac{2\pi}{\mu\omega\sigma_h} \right)^{\frac{1}{2}},$$

за допомогою якого та (5.7) можна записати імпеданс нормального металу

$$Z_h = R_h + jX_h = (1+i) \left(\frac{1}{\sigma_h \delta_h} \right).$$

Останнє рівняння дає змогу зрозуміти зміст дійсної частини поверхневого імпедансу – це є опір об'єму металу поверхнею 1cm^2 та глибиною, яка дорівнює скін-шару. Для надпровідника з формули (5.10) за допомогою (5.5), маємо:

$$\delta^2 = \delta_c^2 = \frac{m_e c^2}{2\pi\mu e^2 n_c} \left(1 + \sqrt{1 + \frac{n^2}{n_c^2} \omega^2 \tau^2} \right)^{-1} = \frac{2\lambda_L^2}{\mu} \left(1 + \sqrt{1 + \frac{n^2}{n_c^2} \omega^2 \tau^2} \right)^{-1}. \quad (5.11)$$

При $\omega=0$, $\mu=1$, $T=0$ ($n_h=0$) (5.11) перетворюється у відомий вираз для лондонівської глибини проникнення $\delta_c^2 = \lambda_L^2 = m_e c^2 / 4\pi e^2 n_c$.

Незважаючи на наближеність дворідинної моделі, формули (5.8), (5.9), (5.11) у більшості випадків вірно характеризують поведінку надпровідників на НВЧ. Зокрема, експериментально зафіксована частотна залежність $Z_R \sim \omega^2$ близька до (5.8). Вираз (5.11) добре описує залежність глибини проникнення від температури, що входить до складу (5.11) через співвідношення

$$n_c = n - n_h = n (1 - t_0^4); \quad t_0 = T/T_K. \quad (5.12)$$

Однак, у викладених вище результатах існують і певні протиріччя з експериментом. Одне з них – залежність глибини проникнення від довжини вільного пробігу електронів λ_e , що зовсім не випливає з (5.11). Це протиріччя є наслідком локальності використаної вище теоретичної моделі. Локальний зв'язок між струмом та напруженістю електричного поля (5.4) можливий лише за умови $\lambda_e \ll \delta$, яка означає, що електрон між зіткненнями знаходиться в однорідному полі. При $\lambda_e > \delta$ (аномальний скін-ефект) швидкість електрона буде визначатися інтегральною дією неоднорідного електричного поля.

Подальше покращення феноменологічної моделі полягає у заміні (5.12) на співвідношення, що випливає з квантовомеханічної моделі БКШ. Нарешті, найбільш точні розрахунки глибини проникнення можуть бути виконані за допомогою мікроскопічної теорії. Величезні математичні труднощі призводять до того, що результат тут може бути отриманий тільки за допомогою ЕОМ [5]. Для частот $\omega \ll \Delta/\hbar$ та при $t_0 \leq 0.5$ можна записати

$$R_s = A \omega^2 \left[\frac{1}{T} e^{-\frac{\Delta}{kT}} \right]. \quad (5.13)$$

$$\Delta = \Delta(t_0); \quad \Delta \text{ помітно зменшується при } t_0 > 0.5, \quad \Delta(1) = 0.$$

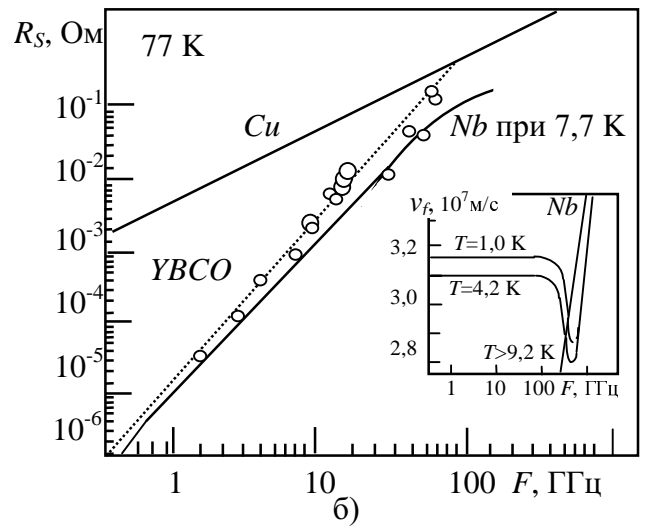
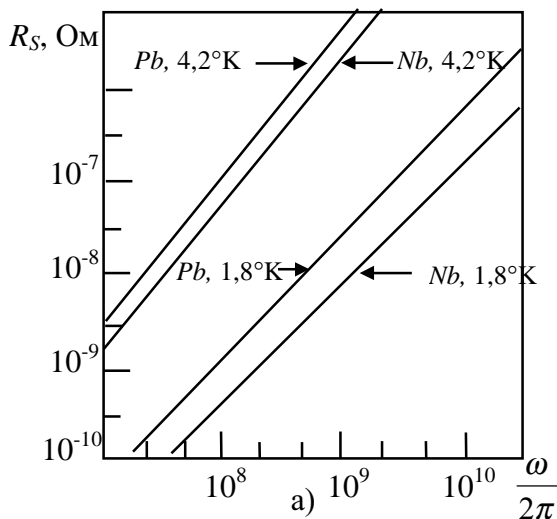


Рис. 5.2. а) Залежність поверхневого опору Pb та Nb від частоти при $T=4,2$ К та $1,8$ К.

б) Частотна залежність поверхневого опору R_s для $YBCO$ при 77 К та Nb при тій самій відносній температурі $7,7$ К. Для порівняння наведені дані для високочистої міді. Вставка справа внизу показує частотну залежність фазової швидкості в ніобієвій мікросмужковій лінії (див. (5.20)).

Величина A слабко залежить від частоти та температури. Приклад розрахунку поверхневого опору R_s за допомогою мікроскопічної теорії зображеній на рис.5.2а. На рис. 5.2б представлени експериментальні частотні залежності R_s для Cu , Nb та ВТНП $YBCO$.

Особливого розгляду заслуговує імпеданс тонких плівок, товщина яких d суттєво менша глибини проникнення δ_c . У цьому випадку можна записати:

$$Z = \frac{1}{\sigma d} = \frac{\sigma_1}{d(\sigma_1^2 + \sigma_2^2)} + i \frac{\sigma_2}{d(\sigma_1^2 + \sigma_2^2)}$$

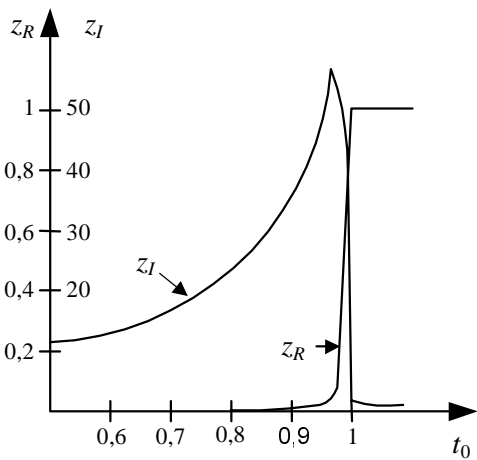


Рис. 5.3. Залежність відносної величини уявної та дійсної частини поверхневого імпедансу тонкої плівки $z_I = X_s/R_n$, $z_R = R_s/R_n$ від температури; $\omega\tau = 10^{-2}$.

зумовлений зростанням індуктивності надпровідників майже на два порядки перевищує відповідне значення для нормальних металів.

На рис.5.3 ця залежність з урахуванням (5.12) зображена графічно; відзначимо суттєвий зріст реактивного імпедансу надпровідної плівки при $t_o \rightarrow 1$, у цьому випадку компоненти L_c . Видно, що z_I у

5.3. Залишковий опір

Згідно з феноменологічною та квантовою теоріями при $T=0$ поверхневий опір $R_s=0$. Однак у всіх випадках, що мають місце в експериментах, при $T \rightarrow 0$ R_s не знижується нижче певного скінченного значення, що називається звичайно залишковим опором R_{s0} . Цей факт прекрасно ілюструє рис. 5.4, на якому зображене залежність від температури відносного

поверхневого опору $z_R = R_s / R_h = R_s \sigma_h \delta_h$ для LC контуру з покриттям 0.75 Pb-0.25 Sn на частоті 36 МГц. З урахуванням залишкового опору вираз для імпедансу надпровідника (5.13) слід записати

$$R_s = A \omega^2 \left[\frac{1}{T} e^{-\frac{\Delta}{kT}} \right] + R_{s0}. \quad (5.14)$$

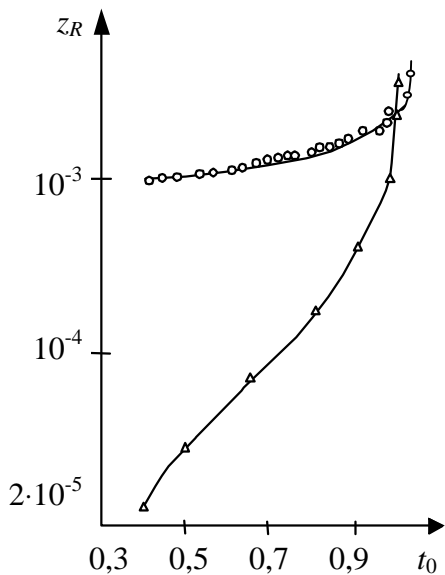


Рис. 5.4. Залежність відносної величини поверхневого опору z_R від температури.
○ - експеримент, Δ - теорія.

Гельмгольца. На сьогодні вдається компенсувати зовнішнє магнітне поле до 10^{-6} Е, що практично повністю усуває його вплив на імпеданс надпровідника.

Ще однією причиною виникнення R_{s0} є генерування у надпровіднику НВЧ електричним полем акустичних коливань – фононів. Цей ефект існує і у нормальніх металів, але там він малий у порівнянні з омічними втратами. Порядок величини поверхневого опору у цьому випадку $R_{s0} \sim 10^{-7}$ Ом на частоті 10^{10} Гц. Акустичні втрати у декілька разів збільшуються при наявності тріщин та стиків на поверхні надпровідника. Надпровідний високочастотний струм, що обтікає тріщину по об'єму металу, на поверхні створює кінцеву різницю потенціалів. У випадку вузької тріщини, перпендикулярної до поверхні надпровідника, ця різниця потенціалів створює всередині тріщини значну напруженість електричного поля. При заповненні тріщини діелектриком (звичайно окислами металу) це може привести або до омічних втрат, або у випадку малої провідності діелектрика, до інтенсивної генерації фононів.

Дуже велике значення має залишковий опір у високотемпературних надпровідниках. Мінімальне значення поверхневого опору ВТНП у трисантиметровому діапазоні довжин хвиль складає $\sim 10^{-5}$ Ом, що на декілька порядків гірше, ніж у кращих НТНП. Одна з причин цього – гранулярна структура ВТНП та наявність мало- та висококутових границь між гранулами. На цих границях утворюються джозефсонівські контакти, опір яких навіть при $t_0=0$ не дорівнює нулеві.

5.4. Нелінійність поверхневого імпедансу

Залежність поверхневого імпедансу від кількості надпровідних електронів n_c (див. формули (5.8), (5.9)) призводить до збільшення Z із зростанням струму (або, що теж саме, із

зростанням напруженості НВЧ електричного поля). Дійсно, ймовірність створення збудженої квазічастинки (нормального електрона) при розсіюванні пари на фононах тим більша, чим більша кінетична енергія пари, яка пропорційна щільноті струму у надпровіднику. При зменшенні температури цей ефект зменшується, а при $T=0$ відчувається лише при $p_F P / 2m_e > \Delta$. При малих щільностях струму феноменологічна теорія приводить до наступної залежності реактивної провідності надпровідника від щільності НВЧ струму та температури:

$$\frac{\sigma_2(0,t_0) - \sigma_2(J,t_0)}{\sigma_2(0,0)} = \frac{24\pi^2}{c^2} \left(\frac{\lambda_0}{H_k} \right)^2 f(t_0) J^2, \quad (5.15)$$

де λ_0 , H_k - глибина проникнення та критичне магнітне поле при $t_0=0$; залежність від температури в (5.15) описується функцією $f(t_0)$, при $t_0=0$: $f(0)=0$, тобто ефект відсутній. Графік залежності (5.15) зображений на рис. 5.5. Видно, що для досягнення значних нелінійностей необхідна щільність струмів $J \sim 10^6$ А/см² та наближення робочої температури до T_c .

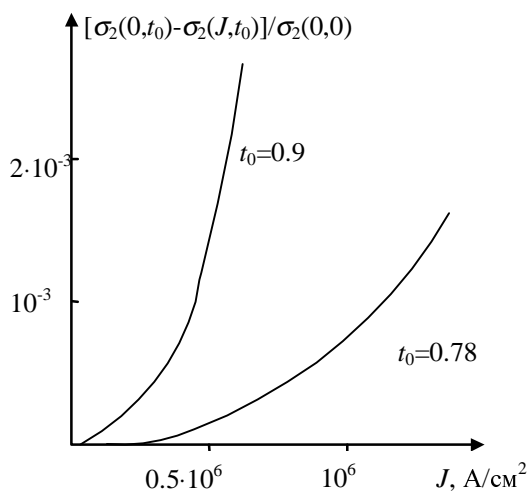


Рис. 5.5. Графік залежності (5.15).

Інший вид нелінійності надпровідника зумовлений руйнуванням надпровідності НВЧ струмом або НВЧ магнітним полем. Час переключення τ_0 між нормальним та надпровідним станом при пропусканні струму $I > I_c$ залежить від відношення I/I_c та від індуктивності надпровідників. Для тонких ниток, які є складовою частиною коаксіальної лінії

$\tau_0 < 5 \cdot 10^{-11}$ сек. При переключенні надпровідників з одного стану у інше НВЧ магнітним полем, критичне значення цього поля через вплив дефектів дещо менше (в 1.2-1.5 рази), ніж при постійному магнітному полі. На сьогодні отримані амплітуди НВЧ магнітних полів у резонаторі поблизу стінок без суттєвого зменшення добротності більше 10^3 Е при максимальній напруженості електричних полів у центрі резонатора більше 10^6 В/см. Такі великі поля тягнуть за собою появу нових механізмів нелінійних втрат, таких як автоЕлектронна та вторинна електронні емісії.

5.5. Надпровідні коливальні системи та лінії передачі

Зменшення поверхневого опору R_s при переході металу у надпровідний стан дозволяє конструювати резонатори з дуже високим значенням власної добротності. Добротність, зумовлена втратами у стінках резонатора Q_c на частоті ω_0 дорівнює

$$Q_c = \frac{4\pi\omega_0}{c^2} \frac{D}{R_s};$$

$$D = \left(\int_{V_p} |H|^2 dV \right) / \left(\oint_{S_c} |H|^2 dS \right) \approx V_p / S_c \quad (5.16)$$

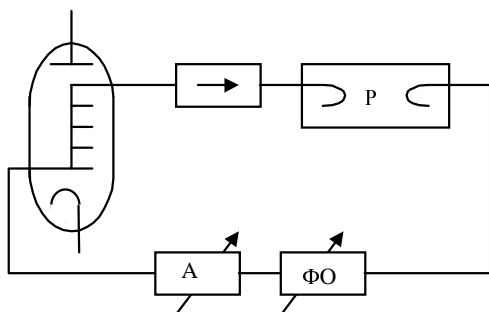


Рис. 5.6. Високостабільний генератор з лампою біжучої хвилі (ЛБХ).

P- резонатор, A- аттенюатор, ФО- фазообертач.

Тут H - НВЧ магнітне поле у резонаторі, об'єм якого V_p та площа провідних стінок S_c . З (5.16) та рис. 5.4 видно, що власна добротність надпровідного резонатору може суттєво перевищувати добротність резонатора з нормальними провідними стінками. Однак, власна добротність Q_0 визначається не тільки втратами у стінках. В загальному випадку слід записати:

$$\frac{1}{Q_0} = \frac{1}{Q_c} + \frac{1}{Q_e} + \frac{1}{Q_o} + \frac{1}{Q_e} + \dots, \quad (5.17)$$

де Q_c , Q_o , Q_e - добротності, які зумовлені відповідно втратами на випромінювання (у відкритих резонаторів), у діелектрику, на електронну емісію. Все це призводить до того, що отримання високих добротностей $Q_0 > 10^5$ пов'язано з великими технічними труднощами, які можна подолати старанною розробкою конструкції, екрануванням від магнітних полів та т. ін.. Усунення джерел усіх додаткових втрат дозволяє для ніобієвих резонаторів отримати $Q_0 \sim 5 \cdot 10^{11}$ на частотах 10^9 - 10^{10} Гц ($T=1.2$ К, тиск всередині резонатора 10^{-9} мм рт. ст.).

Одне з головних застосувань надпровідних резонаторів – використання їх у системах стабілізації частоти НВЧ генераторів. На рис. 5.6 зображена блок-схема стабільного генератора НВЧ на ЛБХ з ланцюгом позитивного зворотнього зв'язку, у який включений високодобротний резонатор. Якщо позначити через φ_1 , φ_2 та φ_3 відповідно зсув фаз у резонаторі, у ЛБХ та в елементах ланцюга зворотнього зв'язку без резонатора, то умова генерації має вигляд:

$$\varphi_1 + \varphi_2 + \varphi_3 = 2\pi n, \quad (5.18)$$

$\varphi_1 = \arctg [(\omega - \omega_0)/\Delta\omega_0]$, де ω_0 і $\Delta\omega_0$ - власна частота і напівширина смуги пропускання резонатора. При незначних розстроюваннях $\varphi_1 = (\omega - \omega_0)/\Delta\omega_0$, звідки за допомогою (5.18) можна знайти значення відносного зсуву частоти ω генератора, що розглядається

$$\frac{d\omega}{\omega} = \frac{d\omega_0}{\omega_0} + \frac{\Delta\omega_0 d(\varphi_2 + \varphi_3)}{\omega_0}. \quad (5.19)$$

При великій добротності резонатора, тобто малому $\Delta\omega_0$, головний внесок у нестабільність генератора вносить перший член в (5.19). Зсув частоти резонатора $d\omega_0$ можуть викликати наступні причини:

а) зміна лінійних розмірів резонатора через коливання його температури $d\omega_0/\omega_0 = \beta\Delta T$, де β - коефіцієнт лінійного розширення матеріалу, з якого виготовлений резонатор, ΔT - зміна температури резонатора;

б) температурна залежність уявної частини поверхневого імпедансу (5.9): $\Delta\omega_0/\omega_0 = X_s/(2QR_s)$;

в) вплив постійного магнітного поля H , зумовлений змінами як глибини проникнення, так і числа надпровідних електронів: $\Delta\omega_0 \sim H^2$ і складає декілька кілогерц при $H \sim 10^3$ Е.

При роботі генератора НВЧ у якості еталону виникає проблема відтворювання частоти при термоциклівенні. Через гістерезисні явища $\Delta\omega_0/\omega_0 \sim 10^{-7}$.

Стабілізація частоти клістронних генераторів може виконуватися за допомогою відомої схеми Паунда. Одна з можливих схем підвищення стабільності генератора Ганна зображена на рис.5.7. Відбита від резонатора P потужність попадає на варактор, змінює його параметри, а разом з ними й частоту генератора. Фазообертач використовується для настроювання на максимальний коефіцієнт стабілізації.

Використання надпровідних резонаторів дозволяє знизити відносну нестабільність генераторів НВЧ за короткий проміжок (~ 10 сек.) до $\Delta\omega/\omega \sim 10^{-13}$.

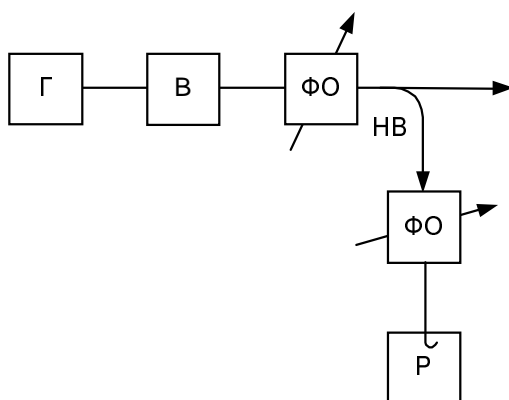


Рис. 5.7. Високостабільний генератор на діоді Ганна.

Г- ганнівський генератор, В- варактор, ФО-фазообертач, НВ- направлений відгалужувач 10 дБ, Р- резонатор.

Іншими перспективними застосуваннями надпровідних резонаторів є використання їх у вузькосмугових вхідних фільтрах - преселекторах, які перебудовуються по частоті; у високочутливих детекторах частотно - модульованого випромінення при дослідженні властивостей діелектриків та напівпровідників; у техніці прискорювачів елементарних часток; у системах накопичення НВЧ енергії з густинou ~ 16 кДж/м³.

Різке зменшення втрат у надпровіднику при $T < T_k$ можна використовувати також і у лініях передачі. Так, наприклад, втрати на частоті 10 ГГц у свинцевому кабелі діаметром 0.87 мм та довжиною 30.5 м, що має хвильовий опір 50 Ом, зменшувалися з 400дБ до ~ 1 дБ при переході кабелю у надпровідний стан. У трьохсантиметровому діапазоні надпровідникові

коаксіальні кабелі можуть мати втрати ~ 1 дБ/км, причому в основному вони будуть зумовлені втратами у діелектрику. Іншою перевагою надпровідних ліній передач є їх мініатюрність, обумовлена властивістю надпровідників пропускати значно більші струми, ніж нормальні метали. Ця обставина спонукає до створення мініатюрних надпровідникових ліній затримки, що мають малу дисперсію та втрати у широкому частотному діапазоні. Залежність уявної частини поверхневого імпедансу надпровідників X_s від магнітного поля та температури (див. рис.5.3) дозволяє легко перетворити ці пристрої у керовані лінії затримки та фазообертачі. Фазова швидкість електромагнітної хвилі у надпровідній мікрополосковій лінії передачі виражається формулою [8, стор. 128]

$$v_{tm} \equiv \frac{c/\sqrt{\epsilon}}{\sqrt{1 + \frac{2\lambda}{d}}}, \quad (5.20)$$

де d - товщина ізоляційного діелектрика. Через збільшення глибини проникнення λ уповільнення фазової швидкості (5.20) максимальне при $T \rightarrow T_k$. Для зміни часу затримки підкладка лінії може підігріватися знизу за допомогою тонкоплівкового підігрівача. Для зменшення втрат на випромінення надпровідну мікросмужкову лінію слід помістити у надпровідний екран; без такого екрану її втрати збільшуються на 2 - 4 порядки.

Збільшення часу затримки може бути досягнуто застосуванням надпровідних уповільнюючих систем, наприклад, мікросмужкового меандра. Такий меандр буде мати дисперсію, яка обмежить робочу смугу частот, але дозволить створювати системи із стисненням імпульсу.

Зменшення активного імпедансу у надпровідних лініях робить можливою реалізацію на їх основі високоефективних малогабаритних антен НВЧ. Розглянемо для прикладу магнітну дипольну антenu, що представляє собою круговий виток зі струмом. Потужність, що підживиться до цього витка, витрачається на омічні втрати P_Ω та на втрати на випромінювання P_θ . ККД антени дорівнює $\eta = P_\theta/(P_\theta + P_\Omega)$. $P_\Omega \sim I^2 \rho r$; $P_\theta \sim \omega^2 I^2 r^4$; I - струм у витку на частоті ω , r - радіус витка, ρ - питомий опір дроту витка. Із вказаних вище співвідношень видно, що $\eta \sim r^3/\rho$, тобто надпровідникові антени за рахунок малого питомого опору можуть без зменшення η мати суттєво менші розміри, ніж звичайні антени. Наприклад, антена 67-см діапазону мала розмір вібраторів ~ 20 мм замість 33,5 см у звичайному випадку. Це дає можливість створення наднаправлених малогабаритних антенних фазованих граток.

5.6. Множення частоти та підсилення НВЧ коливань за допомогою надпровідників

Залежності R_s та X_s від температури, густини струму, змінних та постійних магнітних полів є основою створення різних нелінійних пристроїв на базі надпровідників. Найпростіший з них – помножувач частоти. З рис. 5.5 видно, що при проходженні у надпровіднику змінного струму частоти ω уявна частина імпедансу змінюється з подвоєною частотою 2ω . При цьому виникає третя гармоніка струму, що змінюється з частотою 3ω - відбувається потроєння частоти. Експериментально потроювання частоти можна реалізувати, розміщуючи плівку у резонаторі, настроєному на частоту ω та 3ω . У цьому випадку третя гармоніка виникає у результаті модуляції власної частоти резонатора за рахунок змін X_s з частотою 2ω . Для того, щоб X_s змінювалась з частотою ω і мало місце лише подвоєння частоти, необхідно пропустити крізь плівку постійний струм зміщення або прикласти до неї постійне магнітне поле, близьке до критичного значення. В останньому випадку ефективність подвоєння особливо значна, тому що плівка при цьому може під дією НВЧ

магнітного поля переходити в нормальний стан і зміна імпедансу буде максимальною. Але частотний діапазон подвоювача з руйнуванням надпровідності невеликий – до 10^9 - 10^{10} Гц (див. розділ 5.4).

Розглянуті конструкції помножувачів частоти використовують нелінійність поверхневого імпедансу. Для помноження частоти може бути використана будь-яка нелінійність, наприклад, така, що з'являється у результаті автоелектронної емісії. Пучок електронів, який виникає у резонаторі внаслідок накачки значими напруженостями НВЧ електричних полів, модулюється полем резонатора, після чого попадає у вихідний резонатор, настроєний на одну з гармонік

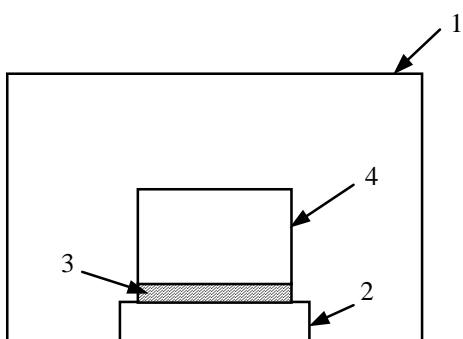


Рис. 5.8. Надпровідний параметричний підсилювач. 1- хвилевід; 2- підкладка; 3- надпровідна плівка; 4- відкритий діелектричний резонатор.

частоти накачки. У спектрі модуляції густини електронного пучка завжди присутні вищі гармоніки, які й збуджують вихідний резонатор [5].

Модуляція уявної частини імпедансу X_s з подвоєною частотою накачки, що використовується для потроювача частоти, може стати основою створення параметричного підсилювача на частоту, що дорівнює частоті накачки. Одна з можливих конструкцій такого підсилювача зображена на рис.5.8. Відкритий діелектричний резонатор (ВДР) настроєний на частоту накачки ω . Потужність накачки змінює індуктивність надпровідної плівки, пов'язаної з ВДР, з частотою 2ω . Ця обставина приводить до модуляції власної частоти ВДР також з частотою 2ω , що вказує на можливість параметричного підсилення на частоті ω , тобто на частоті накачки. В експериментальному макеті такого підсилювача для виключення взаємного впливу частоти сигналу та накачки були рознесені на декілька мегагерц при частоті накачки ~ 6 ГГц. При використанні рутилового резонатора та кварцевої підкладки, що розділені олов'яною плівкою товщиною 250 А при $T=2$ К було отримано підсилення 11 дБ у смузі 1 МГц. Потужність накачки при цьому складала -0.2 мкВт, при більших потужностях підсилювач переходив у режим генерації. Цілком можливе створення таких підсилювачів на частотах до 1000 ГГц.

Активним елементом згаданого підсилювача є надпровідна плівка, що змінює під дією накачки свою індуктивність L . В загальному випадку індуктивність надпровідника складається з двох частин - кінетичної індуктивності $L_k=L_c=m_e/(e^2n_c)$ (див. розділ 5.1) та електромагнітної індуктивності L_{em} , що визначається геометрією та оточенням провідника. Зрозуміло, що під дією накачки змінюється тільки L_k , оскільки $n_c=n_c(T, I)$. Для підвищення коефіцієнта модуляції параметра необхідне виконання умови $L_k \gg L_{em}$, яку можна виконати, застосовуючи тонкі плівки, що працюють при $T \rightarrow T_k$. Крім того, чим тонша плівка, тим менше вона спотворює НВЧ поля та зменшує добродійність резонатору. Однак не завжди можна використовувати тонкі плівки. Якщо плівку розмістити у резонаторі, то для максимальної зміни його частоти, плівка повинна мати найбільш можливий об'єм. Це приводить до того, що в кожній конкретній ситуації слід підбирати оптимальні розміри плівок, виходячи з потужності накачки, коефіцієнту підсилення та смуги пропускання підсилювача. Наприклад, для підсилювача на коаксіальному резонаторі ($Q \sim 10^3$, довжина 44.5 мм, резонансна частота 2.5 ГГц, 4 плівки розміщені по радіусу коаксіальної лінії) при товщині плівки 4000 А потужність накачки склала ~ 2 мкВт, а при 1000 А ~ 8 мкВт. Підсилення в обох випадках було ~ 20 -30 дБ, смуга пропускання 2 МГц. Зазначимо, нарешті, що для підвищення нелінійності надпровідної плівки слід використовувати електродинамічну систему, у якій НВЧ магнітні поля перпендикулярні до поверхні плівки. Як відомо, у цьому випадку надпровідник переходить у проміжний стан, а його імпеданс різко змінюється при амплітудах магнітного поля суттєво менших за критичне значення H_k .

Створення іншого класу підсилювачів та генераторів електромагнітних коливань можливо при використанні ефекту тунелювання нормальних електронів, розглянутого у розділі 2.2. Для роботи генератора на тунельному переході може бути використано явище рекомбінації електронів у куперівські пари з випромінюванням фотонів. Це явище малоймовірне^{*/}, однак при достатній щільноті тунелюючого струму може мати помітну величину. При струмі 10^5 А/см² спостерігалось вимушене електромагнітне випромінювання з контакту на частоті 75 ГГц потужністю 10^{-7} Вт. Частота випромінювання залежить тільки від величини електромагнітної щіlinи надпровідника та може змінюватися зміною температури.

Поява ділянки з від'ємним опором на ВАХ тунельного контакту (див. рис. 2.7) може бути використана для створення підсилювача НВЧ. Однак через велику ємність контакту, такі пристрой можуть працювати лише у близькій НВЧ області. На сьогодні отримано підсилення 23 дБ на частоті 50 МГц. Взагалі можливе створення посилювачів біжучої хвилі

^{*/} Більш ймовірною є рекомбінація з випроміненням фононів енергією 2Δ .

на тунельних переходах, зроблених, наприклад, у вигляді смужкової лінії. Ця смужкова лінія повинна складатися з двох надпровідних смужок, розділених між собою тонким діелектричним бар'єром. Підсилення буде існувати за умови, коли негативне затухання, яке вносить тунельний контакт, буде перевищувати активні втрати в лінії, що збільшуються у відповідності до викладеного вище, як ω^2 . Це приводить до того, що і для підсилювача біжучої хвилі частотний діапазон також обмежений близькою НВЧ - областю. Одне з можливих застосувань підсилювачів біжучої хвилі на тунельних переходах – використання їх у якості нейристорів – ліній, у яких сигнал поширюється без послаблення та спотворення форми.

Дуже перспективним є використання надпровідників у діодах Шотки ("супердіод Шотки"). Використання таких діодів у змішувачах НВЧ приводить до зменшення їх шумової температури та збільшенню чутливості. На сьогодні еквівалентна потужність шуму змішувачів на "супердіодах Шотки" становить $5 \cdot 10^{-16}$ Вт/Гц $^{1/2}$ на частоті 9 ГГц.